

С 345 е 3
Д - 183

16/IX-65

ОБЪЕДИНЕННЫЙ
ИНСТИТУТ
ЯДЕРНЫХ
ИССЛЕДОВАНИЙ

Дубна

P - 2281



В.И. Данилов, И.Б. Енчевич, Е.И. Розанов,
В.И. Смирнов, Т.Н. Томилина

УСТРОЙСТВО СИСТЕМЫ
РАСТЯЖКИ ПУЧКА ПРОТОНОВ
СИНХРОЦИКЛОТРОНА НА 680 МЭВ

Материалы ядерных проблем

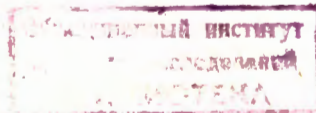
1965

P - 2281

3540/3 49.

В.И. Данилов, И.Б. Еичевич, Е.И. Розаков,
В.И. Смирнов, Т.Н. Томилина

УСТРОЙСТВО СИСТЕМЫ
РАСТЯЖКИ ПУЧКА ПРОТОНОВ
СИНХРОЦИКЛОТРОНА НА 880 МЭВ



Введение

Увеличение длительности импульсов выведенного пучка мезонов осуществляется локальным возмущением магнитного поля ускорителя на последних рабочих радиусах^{/1/}, которое производится током, подаваемым импульсно в две катушки, расположенные внутри камеры ускорителя. Импульсы тока подаются синхронно с циклами ускорения после отключения ускоряющего напряжения.

Изменение локального магнитного поля во времени приводит к увеличению амплитуды вынужденных радиальных колебаний частиц. Для получения амплитуды радиальных колебаний порядка 10 см необходимо создать магнитное поле на площади 1200 см^2 (20 см по радиусу и 60 см по азимуту) напряженностью $8,6 \cdot 10^4 \text{ а} \cdot \text{м}^{-1}$.

Такое поле создается двумя прямоугольными катушками размерами $850 \times 350 \times 108 \text{ мм}$ с числом ампервитков $I_W = 40000 \text{ а}^{/2/}$. Конструкция катушек определялась, с одной стороны, требуемым магнитным полем, а с другой - возможностью монтажа и последующей эксплуатации их в вакуумной камере данного ускорителя.

Катушки питаются импульсами синусоидальной формы, которые создаются при разряде конденсаторных батарей через обмотки катушек при помощи коммутационных тиристоров.

Схема управления работой тиристоров позволяет осуществить питание катушек по заданной программе для обеспечения оптимального режима растяжки.

1. Конструкция и технология изготовления катушек

Каждая катушка состоит из 111 витков изолированной медной трубки, залитой эпоксидным компаундом "холодного" отверждения^{/3/}, и весит 90 кг.

Во избежание возникновения токов Фуко металлическая арматура сведена к минимуму, необходимому для крепления катушек к полюсам магнита внутри вакуумной камеры.

Катушки установлены симметрично относительно средней плоскости на расстоянии 140 мм друг от друга, что при высоте дуавта 120 мм обеспечивает свободное прохождение пучка. При уменьшении расстояния между катушками может быть достигнута большая напряженность магнитного поля, однако в этом случае ускоряемый пучок протонов будет частично рассеиваться на катушках и вследствие радиационного выхода газов из компаунда работа ускорителя станет неустойчивой.

Центр катушек находится на расстоянии 265 см от геометрического центра магнита.

Токопроводящие трубы выводятся из вакуумной камеры через проходные изоляторы из фторопластика. Для вакуумного уплотнения изоляторов, трубок и фланца камеры использованы резиновые прокладки.

Дистиллированная вода для охлаждения катушек подводится через изоляционные шланги параллельно верхней и нижней катушкам. Электрические катушки соединены последовательно. Индуктивность каждой катушки 8 мГн, суммарная индуктивность - 15 мГн.

Для намотки катушек использована медная трубка с наружным диаметром 8 мм и внутренним - 5 мм, обмотанная стеклолентой с нанесенным на нее слоем эпоксидного компаунда. Намотка каждой катушки производилась на шаблоне с габаритными размерами 850 x 100 x 98 мм. 111 витков намотаны 13 слоями по 9 или 8 витков в шахматном порядке (рис. 1).

Зазоры между витками фиксированы прокладками, вырезанными из полиэтиленовой трубы; в совокупности со стеклолентой это обеспечивает межвитковое расстояние около 2,5 мм. Сечение обмотки составляет 98 x 120 мм. После намотки катушка помещалась в открытую форму, размеры которой на 10 мм превышали габаритные размеры намотки, и заливалась следующим составом ^{14/}:

эпоксидный компаунд К-156 100 в.ч.

наполнитель-пылевидный кварц 100 в.ч.

отвердитель-полиэтиленполиамин 15 в.ч.

Отвердение происходило при температуре 20-25⁰С. Для монолитности и равномерного заполнения межвиткового пространства применялась вибрация. После заливки катушки выдерживались около суток при комнатной температуре, а затем в течение суток подвергались термообработке в сушильной печи с постепенным нагревом до 120⁰С.

В средней части катушек при заливке оставлялись четыре отверстия, армированные разрезными втулками из нержавеющей стали. Через эти отверстия катушки крепятся болтами к кронштейнам, расположенным на полюсах магнита. Конструкция кронштейнов позволяет перемещать катушки на ± 5 см по радиусу.

Выводные концы токопроводящих трубок после обмотки стеклолентой свивались бифлексально и обмазывались эпоксидным компаундом. Непосредственно у катушек участок

трубок заливается компаундом в виде бокового прилива к основному телу катушки. Это позволило погасить вибрации трубок, которые возникают вследствие взаимодействия тока с магнитным полем ускорителя.

2. Результаты испытаний

Наружная поверхность изолированного покрытия обеих катушек несколько больше 1 м^2 . Начальное газовыделение приводит к некоторому увеличению времени откачки камеры ускорителя от атмосферного давления до высокого вакуума по сравнению с откачкой без катушек. В процессе тренировки газовыделение значительно уменьшается и общее катокание в камеру становится меньше $10\text{ л}\cdot\text{мк}\cdot\text{сек}^{-1}$, что практически не отличается от катокания без катушек. При этом предельный вакуум составляет около $2\cdot10^{-8}\text{ мм.рт.ст.}$

В отсутствие тока в катушках циркулирующий "нерастянутый" пучок не вызывает существенного увеличения газовыделения, рабочий вакуум сохраняется в пределах $6\cdot10^{-8}-1\cdot10^{-5}\text{ мм.рт.ст.}$ даже без охлаждения катушек.

При введении в пучок мезонной мишени вакуум ухудшается до $1\cdot10^{-5}-1,5\cdot10^{-5}\text{ мм.рт.ст.}$ вследствие увеличения газовыделения из катушек под действием рассеянного на мишени пучка. Вакуум восстанавливается лишь при наличии охлаждения. Длина трубы в каждой катушке около 200 м, проток воды под давлением $6\text{ кг}\cdot\text{см}^{-2}$ составляет около $1\text{ л}\cdot\text{мин}^{-1}$.

При нагрузке перепад температуры охлаждающей воды составляет 20°С . Температура выходящей воды обычно не превышает 40°С . В этих условиях до начала процесса ускорения не происходит существенного ухудшения вакуума. При включении ускорителя для вывода растянутого пучка с мезонной мишени рассеянное излучение значительно увеличивает газовыделение. При среднем токе в катушке 30-80а вакуум в процессе ускорения составляет $1,0\cdot10^{-5}-1,5\cdot10^{-5}\text{ мм.рт.ст.}$ При увеличении тока до 100а наблюдается ухудшение вакуума до $2,0\cdot10^{-5}\text{ мм.рт.ст.}$, что соответствует газовыделению выше $100\text{ л}\cdot\text{мк}\cdot\text{сек}^{-1}$ и приводит к неустойчивой работе ускорителя^{/5/}.

3. Система питания

Система питания катушек растяжки пучка состоит из выпрямителя и генераторе синусоидальных импульсов тока (рис. 2).

В системе использован тиристорный выпрямитель с плавной регулировкой выпрямленного напряжения от 0,2 до 2,5 кв и nominalным током 110 а.

Синусоидальные импульсы тока создаются благодаря разряду конденсаторных батарей на катушки через коммутирующие тиристоры (рис. 3).

Ток, протекающий через катушки, определяется выражением^{/8/}:

$$i = \frac{E}{R_2} + \frac{\sqrt{(V_{C_0} R_2 - EaL)^2 + E^2 \omega^2 L^2}}{\omega LR_2} e^{-at} \sin(\omega t + \phi),$$

где V_{C_0} — напряжение на конденсаторе, E — напряжение выпрямителя, $a = \frac{L + R_1 R_2 C}{2LCR_2}$ — коэффициент затухания, $\omega = \sqrt{\frac{1}{R_1 + R_2} - a^2}$, a — круговая частота, R_1 — активное сопротивление катушки, соединительных проводов и коммутирующего тиатрона, R_2 — зарядное сопротивление, L — индуктивность катушек, C — емкость конденсаторной батареи,

$$\operatorname{tg} \phi = - \frac{LE\omega}{V_{C_0} R - EaL}.$$

Схема питания катушек, использующая одну конденсаторную батарею, не позволяет получить импульсы тока в каждом цикле ускорения из-за большой постоянной времени заряда конденсаторов ($t = 14 \cdot 10^{-3}$ сек). Поэтому необходимо применять несколько конденсаторных батарей, которые разряжаются поочередно через катушки индуктивности синхронно с циклом ускорения.

Зная индуктивность катушек $L = 0,015$ гн и параметры схемы $R_1 = 0,5$ ом и $R_2 = 40$ ом, можно определить для длительности импульса $t = 8 \cdot 10^{-3}$ сек требуемую емкость конденсаторной батареи, которая оказывается равной $C = 3,5 \cdot 10^{-4}$ ф.

Расчет тока в катушках произведен для вариантов с 3-мя и 8-ю конденсаторными батареями при постоянном значении среднего тока источника питания $I = 110$ а. Данные приведены в таблице 1.

Таблица 1

Вариант	Число конденс. батарей	R_2 ом	E ПИТ в	P кВт	i
1	3	40	1740	192	$43,5 + 157e^{-53t} \sin(445t - 0,303)$
2	8	40	1250	137	$31,2 + 175e^{-53t} \sin(445t - 0,183)$
3	3	30	1280	142	$43,0 + 140e^{-84,8t} \sin(445t - 0,314)$
4	8	30	1170	128	$39,1 + 173e^{-84,8t} \sin(445t - 0,227)$

Из сравнения различных вариантов схемы следует:

- При увеличении числа конденсаторных батарей с 3 до 8 мощность, потребляемая от источника питания, уменьшается на 20%.
- При использовании 8 конденсаторных батарей потребляемую мощность можно снизить путем уменьшения зарядного сопротивления до 20-30 ом.
- Уменьшение зарядного сопротивления R_2 ниже 40 ом при 3 конденсаторных батареях приводит к значительному уменьшению амплитуды и фронта импульса тока.
- Различные варианты рассматриваемой схемы не позволяют получить импульсы тока с временем нарастания больше, чем 4 мсек.

5. Четвертый вариант имеет преимущества перед остальными и дает возможность получать импульсы тока амплитудой 200 а с временем нарастания 4 мсек при потребляемой мощности Р = 120 квт.

4. Схема управления

Для увеличения длительности импульса пучка необходимо довести 20–30% ускоряемых частиц до мишени при помощи вч напряжения, затем ускоряющее напряжение отключить, при этом оставшаяся часть пучка достигнет мишени только после того, как один из коммутирующих тиатронов схемы питания пропустит через катушки синусоидальный импульс тока. Оптимальная интенсивность и длительность пучка достигаются подбором амплитуды и времени нарастания импульса тока, а также выбором момента отключения ускоряющего вч напряжения и задержки включения импульса тока через катушки в пределах от 0 до 0,25 периода модуляции.

a) Схема управления работой 3 конденсаторных батарей.

При работе в этом режиме ключ К на рис. 4 стоит в положении 1. Первые два каскада схемы (L_1, L_2 на рис. 5) формируют из заднего фронта прямоугольных импульсов фотодатчика $1/8$ импульсы отрицательной полярности, которые затем поступают на пересчетную схему на лампах L_3, L_4 . Пересчет на три осуществляется по схеме симметричного триггера с использованием обратной связи ($C = 130 \text{ пФ}$) для перевода схемы в исходное состояние после прихода каждого третьего импульса $x/$. Требуемая циклическость работы достигается формированием импульсов, снимаемых с различных точек пересчетной схемы в трех независимых каналах (L_5, L_6, L_7). С выходных каскадов на лампах L_8, L_9, L_{10} эти импульсы поступают на сеточные трансформаторы коммутирующих тиатронов системы питания.

Работа схемы иллюстрируется эпюрами напряжений, приведенными на рис. 8 (1–10, номера эпюр соответствуют точкам на блок-схеме на рис. 4).

$x/$ По сравнению с кольцевой данной схема пересчета на три содержит на один триггер меньше.

б) Схема управления работой в конденсаторных батарей.

В этом случае ключ К (рис. 4) находится в положении 2. Отключающие импульсы положительной полярности поступают на каскады предварительного формирования на лампах L_{19}, L_{20}, L_{10} (рис. 7) синхронно с частотой модуляции после снятия ускоряющего напряжения. Эти импульсы задерживаются при помощи фантастрона (L_1, L_2, L_3, L_8) на время до 0,25 периода модуляции. Затем они поступают на два каскада пересчетных схем (L_5, L_7 и L_8, L_{12}, L_{15}), обеспечивающих пересчет на шесть и после соответствующего формирования в независимых каналах ($L_{11}, L_{13}, L_{14}, L_{18}, L_{17}, L_{18}$ и $L_{21}, L_{22}, L_{23}, L_{24}, L_{25}, L_{26}$) попаренное включение с помощью тиристоров шести конденсаторных батарей.

Работа схемы иллюстрируется эпюрами напряжений, приведенных на рис. 6 (1-7 и 11-20 номера эпюр соответствуют точкам на блок-схеме рис. 4).

Схема управления питается от модифицированного выпрямителя УИП-1 с дополнительным стабилизированным выходом +300 в (рис. 8).

Б. Проектируемые улучшения.

В новом варианте катушек предусматривается разделение обмотки на две секции, что позволит в четыре раза увеличить проток воды и уменьшить нагрев катушек. Однако радиационный выход газов под действием рассеянного на мишени пучка по-прежнему может оставаться значительным при существующей технологии заливки. Применение смолы ЭД-6, модифицированной тиколом с маленевым ангидридом в качестве отвердителя, позволяет снизить радиационный выход газов, однако, увеличение вязкости за счет тикола и режим горячего отвердения вызвали бы большие трудности при заливке.

Синусоидальные импульсы тока позволяют увеличить длительность пучка частиц по времени не более чем до половины периода модуляции. Для фазotronа на 880 Мэв это составляет 3-4 мсек. Для получения импульсов тока с временем нарастания более 4 мсек целесообразно использовать схему тиристорного триггера, в одно плечо которого включены катушки индуктивности $6,7/$. В этом случае импульсы тока имеют пилообразную форму и время нарастания тока можно увеличить до 6-7 мсек.

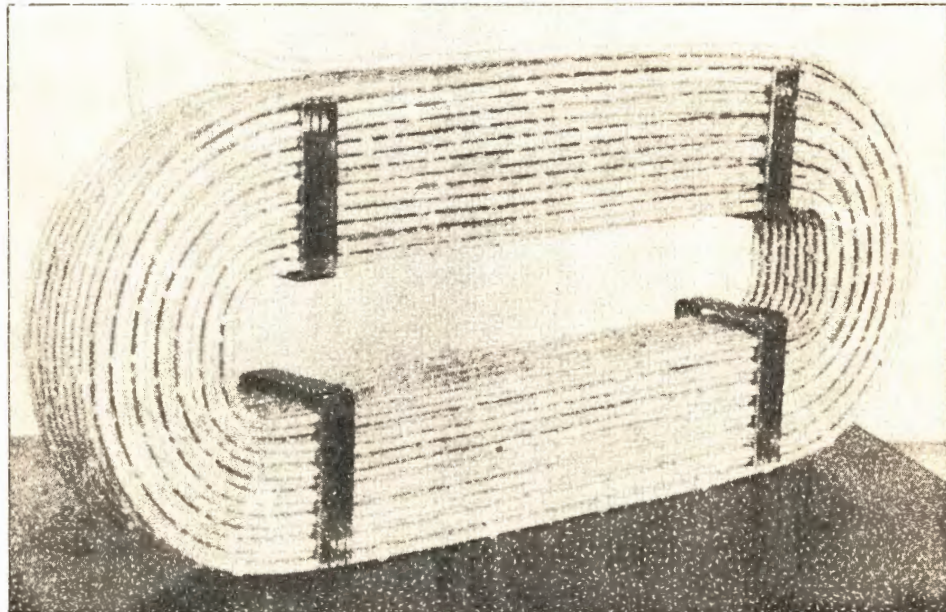
При использовании для питания катушек импульсов тока пилообразной формы, схема должна выдавать на запуск питающего устройства два импульса одновременно в момент, определяющий начало растяжки пучка и один импульс, задержанный относительно первых двух на время растяжки пучка (6-7 мсек).

В заключение авторы считают своим приятным долгом поблагодарить И.М. Гурман за консультацию по ряду вопросов, И.Х. Ноздрина - за участие в разработке конструкции, К.А. Байчера - за руководство изготовлением и монтажом катушек в камере, В.Ф. Пермякова и Ф.Г. Игнатова - за участие в вакуумных испытаниях катушек, А.И. Смирнова, В.В. Ахманова, Г.К. Караваева - за монтаж и испытание электрооборудования, Е.И. Замолодчикова - за полезное обсуждение конструкции и схемы питания, А.И. Мухина и В.Г. Зяниова - за участие в испытаниях катушек.

Л и т е р а т у р а

1. В.И. Данилов, И.Б. Енчевич, Б.И. Замолодчиков и др. "Увеличение длительности пучков частиц синхропиклotrona на 880 Мэв. Препринт ОИЯИ Р-1985, Дубна (1985).
2. В.А. Бирюков, В.И. Данилов. Расчет магнитного поля прямоугольной катушки с током. ЖТФ, том XXXI, выпуск 4, 1961.
3. Г.М. Мартынов, П.А. Фефелов. Сборник "Электрофизическая аппаратура", выпуск 3, Госатомиздат 1965.
4. Новые типы эпоксидных смол в компаундах. Сб. статей, Л. Знание.
5. В.Г. Рогозинский, Е.И. Розанов. Вакуумная система больших циклотронных ускорителей ОИЯИ. Препринт ОИЯИ 2077, Дубна (1985).
6. И.Л. Каганов. Электронные и ионные преобразователи, ч. III. Госэнергосиздат 1958.
7. Б.Х. Кризинский. Элементы и устройства импульсной техники, Советское радио 1961.
8. В.И. Данилов, И.Б. Енчевич, Е.И. Розанов, Т.Н. Томилина, А.В. Шестов. Управление синхропиклotronом на 880 Мэв и синхронизация с ним экспериментальных установок. Препринт ОИЯИ 2138, Дубна (1985).

Рукопись поступила в издательский отдел
17 июля 1985 г.



Р и с. 1.

UZEMNIACI RADIATOR

$$V = 0.2 \div 2.5 \text{ v}^{\delta}$$

$$J_0 = 100 \text{ A}$$

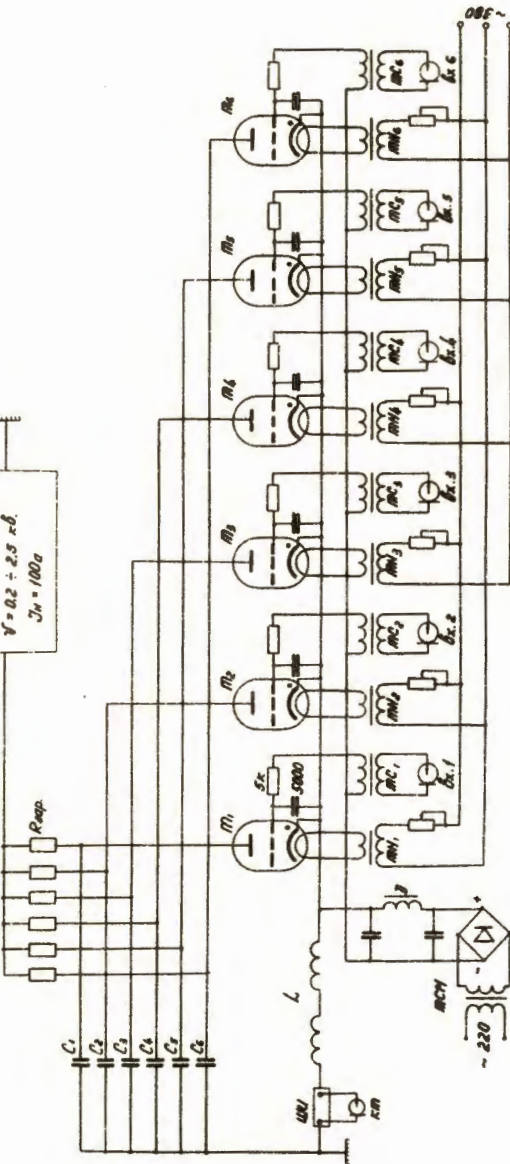


FIG. C. 2.

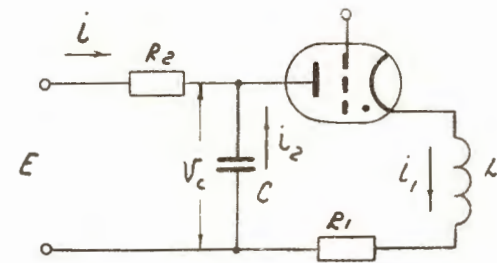
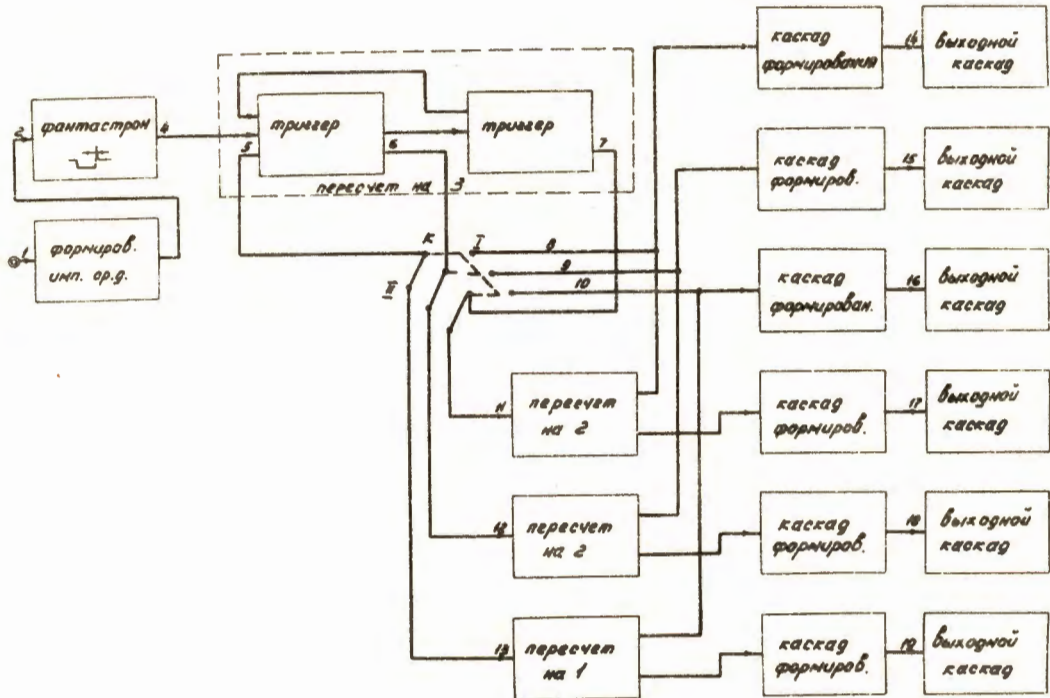
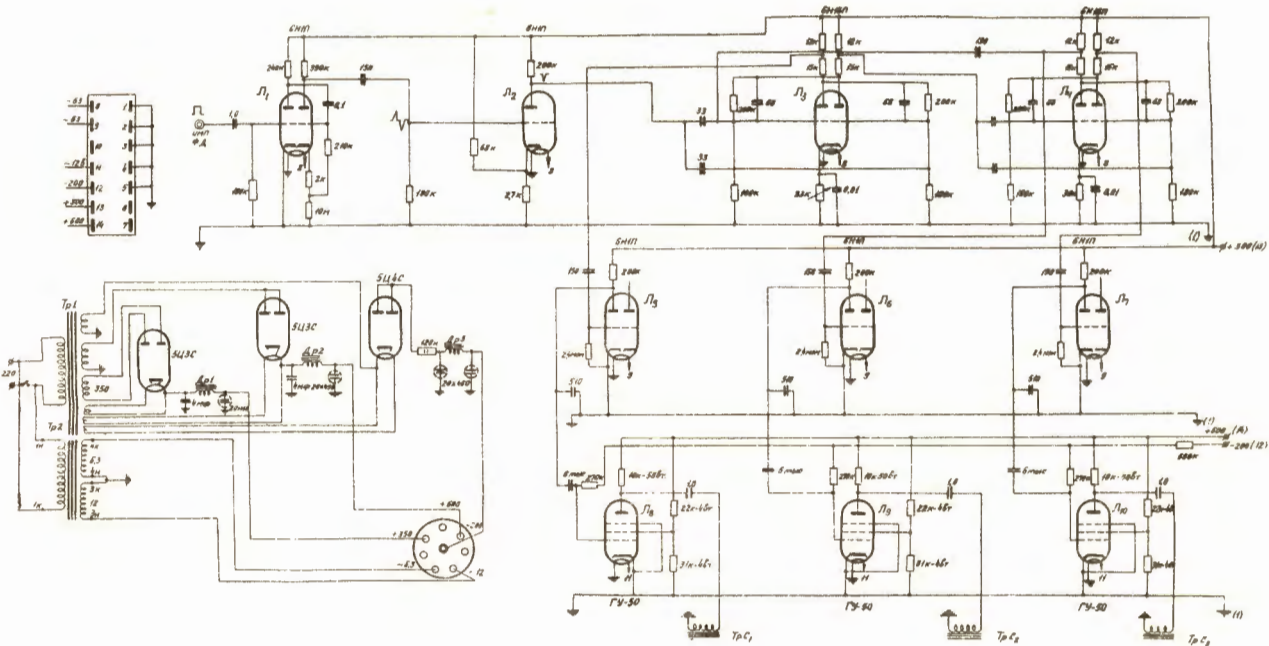


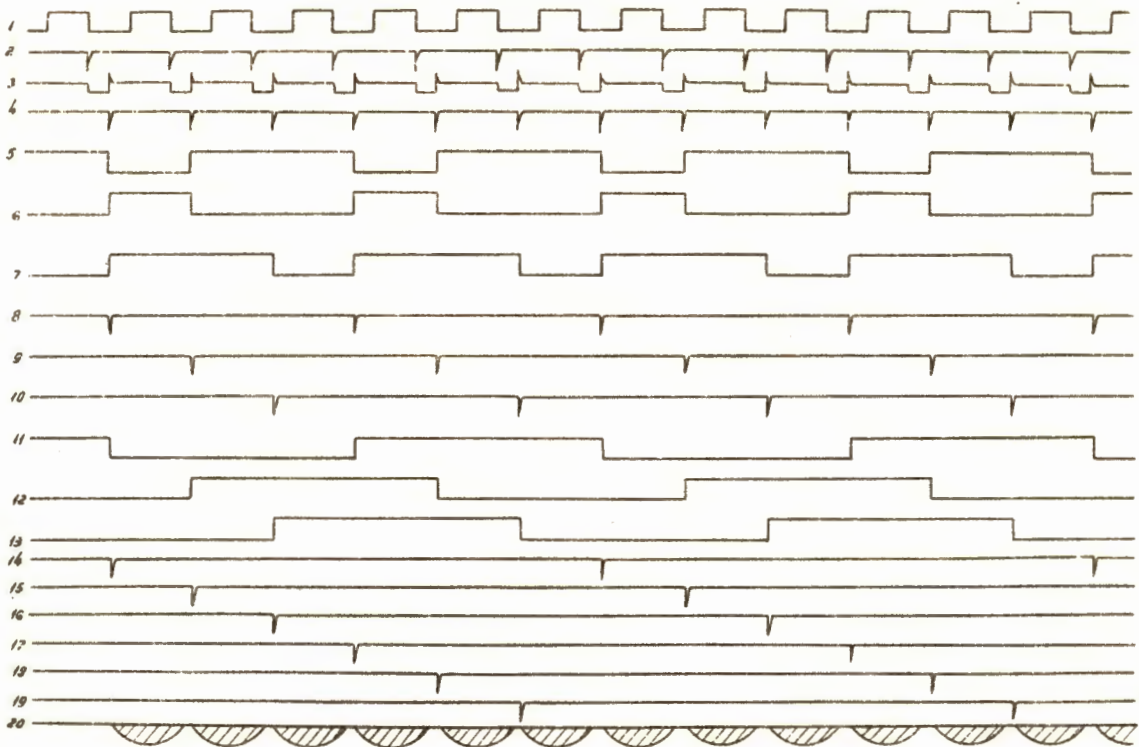
FIG. C. 3.



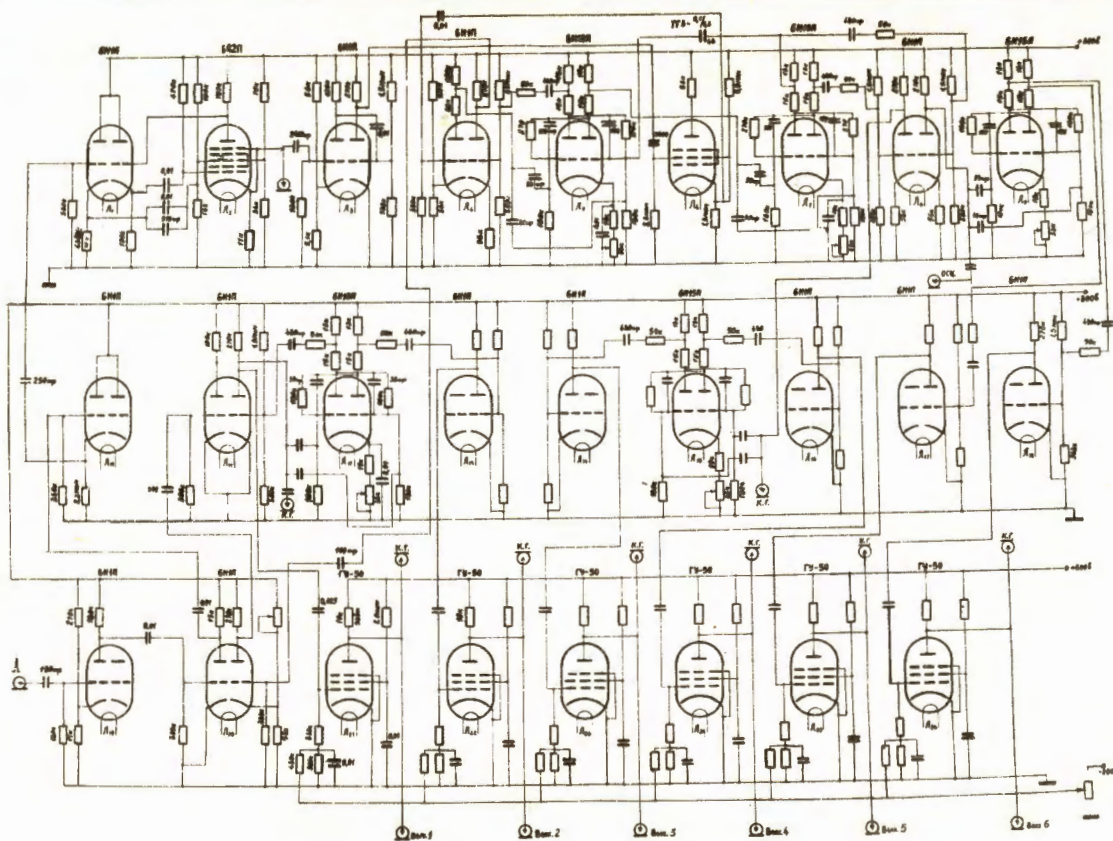
Р и с. 4.



Р и с. 5.



Р и с. 6.



Р и с. 7.

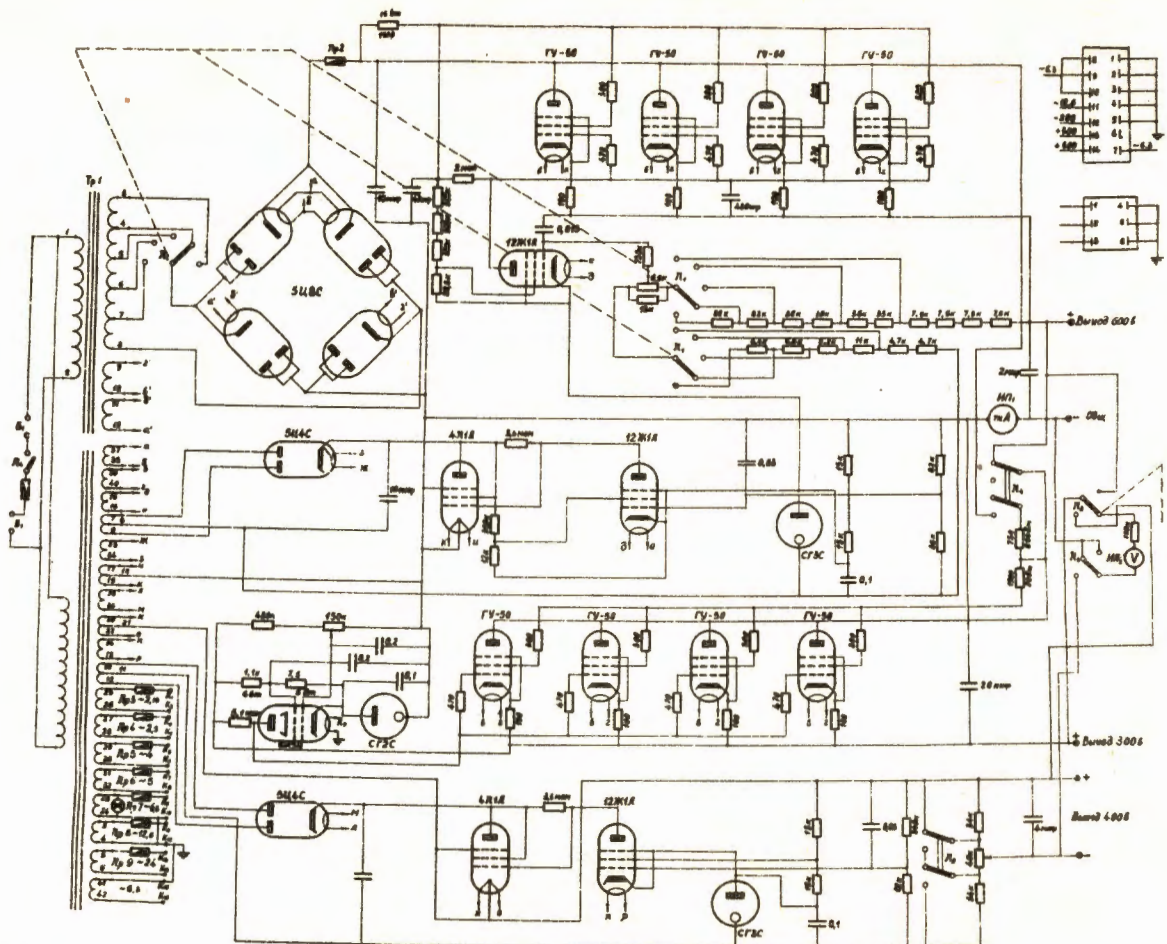


Рис. 8.